

草鱼 *eIF-5A* 的克隆、组织表达和进化分析

王军花, 陈 琼, 马梅生, 王丽坤, 胡成钰

(南昌大学 生命科学与食品工程学院, 江西 南昌 330031)

【摘要】 **【目的】**克隆和鉴定草鱼(*Ctenopharyngodon idella*)的 *eIF-5A* 基因,并分析其组织表达和适应性进化。**【方法】**在克隆草鱼 *eIF-5A* 全长 cDNA 的基础上,利用 ORF finder、SMART 等在线软件对草鱼 *eIF-5A* 的分子特征进行分析,并利用 PAML 3.15 软件包中的密码子替换模型检测 *eIF-5A* 的分子适应性进化;RT-PCR 分析 *eIF-5A* 在草鱼心、脑、肌肉、鳃、脾、肝、肠、肾等组织中的本底表达和 Poly I:C 诱导表达。**【结果】**草鱼 *eIF-5A* 全长 cDNA 为 2 249 bp,其中包含 5'非编码区 41 bp,3'非编码区 1 743 bp;最大开放阅读框为 465 bp,编码 1 个由 155 个氨基酸残基组成的蛋白质;草鱼 *eIF-5A* 分子质量为 16.856 ku,等电点 pI 为 5.18,N 端含有 *eIF-5A* 家族共有的羧基赖氨酸,C 端包含一段富含亮氨酸的结构域。草鱼 *eIF-5A* 与人及其他动物具有较高的同源性,只有少数氨基酸残基发生替换;适应性进化分析也表明,*eIF-5A* 不但具有结构的保守性,还具有功能的保守性;*eIF-5A* 在草鱼心、脑、肌肉、鳃、脾、肝、肠、肾等组织中恒量表达,并且其表达不因 Poly I:C 的诱导而发生变化。**【结论】***eIF-5A* 是一类与细胞分裂和分化密切相关的蛋白质,在生物体中具有多种剪切体,提示 *eIF-5A* 对维持细胞生存非常重要;鉴定的草鱼 *eIF-5A* 为 *eIF-5A1*,而非 *eIF-5A2*。

【关键词】 真核翻译起始因子 5A(*eIF-5A*);基因克隆;基因表达;草鱼;Poly I:C

【中图分类号】 Q785;S965.112

【文献标识码】 A

【文章编号】 1671-9387(2009)08-0048-07

Cloning, tissue-specific expression and evolution of grass carp *eIF-5A* gene

WANG Jun-hua, CHEN Qiong, MA Mei-sheng, WANG Li-kun, HU Cheng-yu

(College of Life Science and Food Engineering, Nanchang University, Nanchang, Jiangxi 330031, China)

Abstract: **【Objective】** The *eIF-5A* gene was cloned and identified in *Ctenopharyngodon idella*. The tissue-specific expression and adaptive evolution of grass carp *eIF-5A* gene was analyzed. **【Method】** After the full length cDNA of *eIF-5A* had been cloned from grass carp, the molecule characterization of grass carp *eIF-5A* was predicted by ORF finder, SMART on-line softwares and so on. The adaptive evolution of the *eIF-5A* had been studied by codon substitution model in PAML 3.15 software package. The background expression and Poly I:C induced expression of *eIF-5A* in heart, brain, muscle, gill, spleen, liver, intestine and kidney of grass carp were detected by RT-PCR. **【Result】** The full length cDNA sequence of grass carp *eIF-5A* was 2 249 bp, which contained a 5' untranslated region of 41 bp and a 3' untranslated region of 1 743 bp. The open reading frame was 465 bp, which could code a 155 amino acid polypeptide with a molecular mass of 16.856 ku and pI 5.18. Grass carp *eIF-5A* contained the unusual basic amino acid hypusine that conserved in *eIF-5A* family at the N-terminal region and a leucine-rich stretch at the C-terminal region. Only several amino acid residues were substituted, the amino acid sequence shared identity with *eIF-5A* from human and other species. Adaptive evolution analysis also indicated that *eIF-5A* was not only

* [收稿日期] 2008-11-18

[基金项目] 江西省重点科技攻关项目(20061B0260301)

[作者简介] 王军花(1974—),女,江西吉安人,在职硕士研究生,主要从事微生物学研究。王军花、陈琼同等贡献。

[通信作者] 胡成钰(1964—),男,江西南昌人,教授,博士,博士生导师,主要从事细胞生物学研究。E-mail: hucy2008@21cn.com

conserved in structure but also in function. *eIF-5A* was constantly expressed among the heart, brain, muscle, gill, spleen, liver, intestine, kidney of grass carp, as well as by Poly I:C infected. 【Conclusion】 *eIF-5A* is related to cell division and differentiation. The various *eIF-5A* forms suggest that they are extremely important to cell. According to the above results, the grass carp *eIF-5A* identified is *eIF-5A1* rather than *eIF-5A2*.

Key words: *eIF-5A*; gene cloning; gene expression; grass carp; Poly I:C

真核翻译起始因子(eukaryotic translation initiation factor)是一类参与真核细胞蛋白质翻译的物质,目前已发现有 20 余种成员,分属于 eIF-1、eIF-2、eIF-3、eIF-4、eIF-5、eIF-6 等多个家族。真核翻译起始因子一般各自包含多个亚基,并以复合物的形式发挥作用^[1]。eIF-5 是三磷酸鸟苷(GTP)酶激活蛋白,在翻译起始时激活 eIF-2 的 GTP 酶活性,使 eIF-2·GTP 水解为二磷酸鸟苷(GDP)结合的 eIF-2。eIF-5 有 eIF-5A、eIF-5B 亚基,其中, eIF-5A 能调节蛋白质的翻译,参与 mRNA 的降解^[2-3],并与细胞周期 G1/S 转化及细胞增殖、分化和凋亡密切相关^[4-6]。eIF-5A 是迄今惟一 1 个含羟腐胺赖氨酸(hypusine)残基的蛋白质。Park^[5]研究发现,羧腐胺赖氨酸的合成速率(或者说合成时间)与细胞的分裂进程紧密相关。反之,用亚精胺和脱氧羧腐胺赖氨酸合酶(DHS)抑制剂或一些金属螯合物抑制脱氧羧腐胺赖氨酸羧化酶的功能,可以使哺乳动物细胞停止分化,细胞周期停留在 G1/S 转化期^[7-9]。由此推测, eIF-5A 在细胞分裂增殖过程中有重要作用。

迄今为止,虽然已鉴定了人及多种动物的 *eIF-5A* 及其剪切体(isoform)基因,但对鱼类 *eIF-5A* 及其功能了解甚少,仅在已完成了全基因组测序的斑马鱼(*Danio rerio*)中,报道了 *eIF-5A* 序列。为此,本研究在克隆草鱼 *eIF-5A* 基因(EU916931)的基础上,对其分子特征、组织表达特性和适应性进化进行了分析,所获结果将为日后进行鱼类 *eIF-5A* 功能研究及进一步了解基因表达调控提供基础资料。

1 材料与方法

1.1 材料

草鱼肝肾 cDNA 文库(载体为 pBluescript II SK, 宿主菌为 DH5 α)由南昌大学鱼类分子免疫学实验室保存;草鱼由江西省水产科学研究所提供,体质量约 20 g,于流水实验槽中暂养 7 d 后,备用。

SV Total RNA Isolation system 总 RNA 抽提试剂盒为 Promega 生物技术有限公司产品, M-

MLV 反转录酶、*Taq* 酶为宝生物工程有限公司产品,引物合成、测序由上海生物工程有限公司完成。

1.2 草鱼 *eIF-5A* 基因的克隆

采用 pBluescript II SK 载体上的通用引物:T3 (5'-ATT AAC CCT CAC TAA AGG GAA-3')和 T7(5'-TAA TAC GAC TCA CTA TA-3'),对已筛选的 510 个克隆进行测序,其中编号为 YG003_H10 的克隆经生物信息学分析,确定为草鱼 *eIF-5A* 全长 cDNA。

反应体系为 25 μ L:水 18.75 μ L, 10 \times PCR 反应缓冲液 2.5 μ L, 2.5 mmol/L dNTP 1 μ L, 10 μ mol/mL 上、下游引物各 0.5 μ L, 菌液 1.5 μ L, *Taq* 酶 0.25 μ L。PCR 反应条件:94 $^{\circ}$ C 预变性 5 min;94 $^{\circ}$ C 变性 30 s, 59 $^{\circ}$ C 退火 30 s, 72 $^{\circ}$ C 延伸 90 s, 30 个循环;72 $^{\circ}$ C 延伸 10 min。

1.3 草鱼 *eIF-5A* 的分子特征

采用 ORF finder、SMART 等在线软件对草鱼 *eIF-5A* 开放阅读框推译,初步确定其分子特征。

1.4 草鱼 *eIF-5A* 的组织表达特性

在草鱼左右胸鳍下肌肉注射 Poly I:C (1 mg/mL)50 μ L/尾,诱导 3 d,以注射同量 5 g/L 生理盐水的草鱼为对照。提取对照组和经 Poly I:C 诱导后的草鱼肝、肠、肾、脾、心、肌肉、鳃、脑组织总 RNA,反转录得到 cDNA。

根据草鱼 *eIF-5A* 基因序列设计特异性引物:eIF-5AU (5'-AGG GGT TCC TCT CTC TTA TGA TG-3')和 eIF-5AL(5'-GCA GCC CAG TCT CTC TTC CTA TT-3'),扩增目的片段长度为 196 bp。以 β actin 为内参,引物序列为:F (5'-GGA CTC ATC GTA CTC CTG CTT G-3')和 R (5'-GAG ACC TTC AAC ACC CCA GC-3')。PCR 检测 β actin 的转录水平并平衡不同模板 cDNA 的浓度。

反应体系为 25 μ L:水 19.25 μ L, 10 \times PCR 反应缓冲液 2.5 μ L, 2.5 mmol/L dNTP 1 μ L, 10 μ mol/mL 上、下游引物各 0.5 μ L, cDNA 1 μ L, *Taq* 酶 0.25 μ L。PCR 反应条件:94 $^{\circ}$ C 预变性 5 min;94

℃变性 30 s, 58 ℃退火 30 s, 72 ℃延伸 30 s, 28 个循环; 72 ℃延伸 10 min。

1.5 草鱼 eIF-5A 的同源性分析

在 GenBank 中检索人、小鼠等物种的 *eIF-5A* 基因, 经查对文献确认, 下载氨基酸序列和核苷酸序列。氨基酸序列经 Clustal W 软件 (<http://www.ebi.ac.uk/clustalw/>) 排序比对分析同源性。

1.6 草鱼 *eIF-5A* 的分子适应性进化分析

经 Clustal W 软件排序后, 文件经 EMBOSS win 软件 (<http://emboss.sourceforge.net/>) 的 tralign 程序转换成相应的核苷酸序列排布; 然后用 PHYLIPY 软件包 (<http://evolution.genetics.washington.edu/phylip.html>) 中最大似然法 (ML) 构建进化树, 自展重复设为 1 000 次。根据序列对位排列和系统树结果, 运行 PAML 3.15 (<http://abacus.gene.ucl.ac.uk/software/paml.html>) 软件包中的 CODEML 程序^[10], 检测 *eIF-5A* 基因的正选择, 并寻找正选择作用位点。

2 结果与分析

2.1 草鱼 *eIF-5A* 基因的克隆

在草鱼肝肾 cDNA 文库中, 编号为 YG003_H10 的克隆分子长度大于 2 000 bp, 对其测序, 序列经完整开放阅读框查找和 Blast 比对后, 鉴定为草鱼

eIF-5A 全长 cDNA (EU916931) (图 1)。

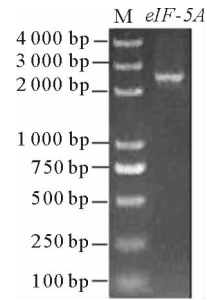


图 1 草鱼 *eIF-5A* 基因的克隆

M. DL2000 plus; *eIF-5A*. 草鱼真核翻译起始因子 5A 基因

Fig. 1 Cloning of grass carp *eIF-5A* gene

M. DL2000 plus; *eIF-5A*. Eukaryotic translation

initiation factor gene of grass carp

2.2 草鱼 *eIF-5A* 的分子特征

草鱼 *eIF-5A* 全长为 2 249 bp, 其中含有 5' 非翻译区 41 bp, 3' 非翻译区 1 743 bp。开放阅读框由 465 bp 组成, 编码 1 个由 155 个氨基酸组成的蛋白质 (图 2), 分子质量为 16.856 ku, 等电点 pI 为 5.18。该蛋白质 N 端第 49~56 氨基酸残基位点 (TGKHHGAK) 为所有 *eIF-5A* 家族所共有的保守区; 第 51 的“K”经亚精胺依赖性翻译后修饰, 为该家族成员特有的羧腐胺赖氨酸^[11]; 另在蛋白质 C 端包含一段富含亮氨酸的结构域。

```

1   GTCCTTTTTTCTTGAATGCCCTTGTTAGATCCCATCATGGCAGATCCAGATCTT
1   M A D P D L
60  GATTTCCACGCGGAGATGCCGGGCTTCTGCCACCTACCCCATGCAGTGCAGCGCCCTG
7   D F T S G D A G A S A T Y P M Q T C S A L
120 CGCAAGAACGGATTCTGGTGCTGAAGGTCGCCCTGCAAAATGTGAAATGTCCACC
27  R K N G F V V L K G R P C K I V E M S T
180 TCTAAGACTGGCAAGCATGGTCATGCAAAGTTCACTTGGTTGGAATTGACATATTACA
47  S K T G K H G H A K V H L V G I D I F T
240 AATAAGAAGTATGAAGATATCTGCCCTCCACCCACAACATGGATGTGCTAACACAAA
67  N K K Y E D I C P S T H N M D V P N T K
300 AGAAATGACTACCAGTGGTTGACATCAGTGAGGGTTCCTCTCTTATGATGGACAAC
87  R N D Y Q L V D I S E G F L S L M M D N
360 GGTGACGTGCGGAGGACCTGCGCGTGCCAGACGGTACCTGGGCAAAGAAATCGAAAGC
107 G D V R E D L R V P D G D L G K E I E S
420 AAATTTGCAGCTGGTGAAGAGATGTGGTTACTGTGCTTCAGCTATGGGCGAAGATCT
127 K F A A G E E M L V T V L S A M G E E S
480 GCAGTGGCTGTCAAACCCATGACCAAATAGGAAGAGAGACTGGGCTGCTCAGGCTGCAAC
147 A V A V K P M T K *

```

图 2 草鱼 *eIF-5A* 及其推测的氨基酸序列

下划线标示保守区⁴⁹TGKHHGAK⁵⁶; 实体框标示⁵¹K 为羧腐胺赖氨酸修饰的位点; 阴影标示 C 端富含的亮氨酸

Fig. 2 Nucleotide sequence and deduced amino acid sequence of grass carp *eIF-5A*

The ⁴⁹TGKHHGAK⁵⁶ sequence denoted by underlines is conserved domain; Real line frames denote deoxyhypusine modification site ⁵¹K;

Leucine-rich stretch at the C-terminal region denoted by shadows

```

540  ATGCTACACTTTAACAATCTCTTGCATTTGTTTTTTGGTTTTATTTGTCACCAAAGCT
600  ATGGCCTTCACAAACAACCTCACATTTTTGTTGTGATTGTATTCCTTTTTCTCCTCCCA
660  ATACTGTGCTNGGACTTGTGCGGTCAGTTGGCATTCTCTCGGTAAGAAGTTTATTATTG
720  TCAGTGTTTACCCCTCGACCTCCCCATTCCAATTTTTTTTTTTTTTTTCTCCCCT
780  CAAGTTTTACCAGTTACATTCCTGAATGTTAAATAATGGGATCCATTTTTCAATTTTTG
840  TATTCTGAATTTCTAATAGTAACTAGTGTGCAGGATTTATGCAACATGTTGCGAAGAG
900  AGGAAACCCCAACTGACACTGAACTTTATTTTTTCTCTCCCTCTGTGGGTGCCATA
960  CTCTTACTTTTTCTCTTACATAATCAATGCCATTGCTGGCACTATGGTAAATTTCTCTCA
1020 ATTGAATGCCTTTTTCCCCCTCCAAAGTGAGATGCACACTGGTAGTTGGCACTTCCTT
1080 GTTCTTGCAGTACTTTGAGTACCTTCTCAAGTAAAAACCCTATGACCAAGAAATAAACT
1140 CCAGTAAAATGCTCTTAAATGCCAGTCTCTAATGTACAGAAGTAGAAAGGATGTGAT
1200 GGCCATGTGCGAATACCTCTGTAACCAATATAGCAGCCAGCTTGATTTTGGCTGTCACT
1260 GATGACATTAATAAAGTGTGAAGCCTGTATTTGTCTCCAGGTAGGCTCTTATCAGAAT
1320 GCCCCAGAATGAGCTCAGGCTCTTAAGGACTGAATCTTTCATGCGAGTTCTAATCTTCTCT
1380 TTGTTCACTCGAGGCTTTGTCACCTGACTGGAGAGAGCAAAAAATAAAAAACCTAATAGA
1440 TTACCTTTTCATTATTATTTTTATTTTTTATGAAGCACTTCATCAGTACTGAAAGA
1500 AGTTCTGAATGCTGGTAAAGGTCCGCTTCATATATACAGCTGATTTTTCTTTTGGTAA
1560 TATTTAACGTGAGCNTCTTTANTTTCTCAGTCTCTGGAGAATGAATACCCTGTTTAAA
1620 AGTTACTTAGTCTAACCTGTCCGGTCAATTTGGGACGACTTCATTTACTAAGGTACAGATA
1680 TTATACTTTATTCAGAAAGTGTCTGTTTGAAGTATGATTTTTAGGTACATCACCTAAGT
1740 GTTCAGTAGCACACATGCGATGTTTATGTTCTTGAACCTAAGACAGTACAATAATATACA
1800 TTCATGTGTATATATTATGTGATTCCTTAATGTCTGTTGTATGGTTTTAAATGCTAAAT
1860 TTAAGGTTAAGAAGTATATAAATGGCATGGGACATAATTTAGAAAGTGAGGACATGG
1920 ACCATAACTGGGAAGGAAAGACAAAGCTTTGTTGGGTTGGGCTGCCAAATCCTCTGCATG
1980 GGTGGAGCCAAACGCTCATTTCCCACTCATGGCTGGATGCCAGACAACACTGACTCAAT
2040 GAAAGTGTGCACTTAAGTCTTGAGACATGTGGCATTGCAGTATATTCAAACACACAAA
2100 CTTTCATCAATCACTGGCTCCTAGTGGAGCGCTTCTCATATGTTCAAGTATGATTTACA
2160 TGAATTTTTCAAATGATTAATTTCAAATTTTGTCTGTCGTGTAGCTGAGTGACATTAATA
2220 ATTTAACCAATAAAAAAAAAAAAAAAAAAAAA

```

续图 2 草鱼 *eIF-5A* 及其推测的氨基酸序列

下划线标示保守区⁴⁹TGKHGHAK⁵⁶;实体框标示⁵¹K 为羧腐胺赖氨酸修饰的位点;阴影标示 C 端富含的亮氨酸

Continue Fig. 2 Nucleotide sequence and deduced amino acid sequence of grass carp *eIF-5A*

The ⁴⁹TGKHGHAK⁵⁶ sequence denoted by underlines is conserved domain; Real line frames denote deoxyhypusine modification site ⁵¹K;

Leucine-rich stretch at the C-terminal region denoted by shadows

2.3 草鱼 *eIF-5A* 的同源性分析

eIF-5A 的氨基酸序列高度保守。由图 3 可见,草鱼 *eIF-5A* 与斑马鱼 (NP_998350) 的同源性为 97% (151/155 aa), 仅在第 10 位 (Thr→Ala)、第 86 位 (Thr→Ile)、第 128 位 (Ser→Asn) 存在差异; 与人 (NP_001961)、小鼠 (*Mus musculus*, NP_853613)、牛 (*Bos Taurus*, NP_001003658) 的同源性达 81% (126/155 aa), 与文昌鱼 (*Branchiostoma belcheri*, AAS68511) 的同源性达 69% (107/155 aa); 与其他动物相比, 鱼类 *eIF-5A* 有部分氨基酸发生替换, 在第 68 位氨基酸由 Gly 变成 Asn, 在第 99

位 Asp 变成 Glu。几乎所有的保守区域都位于 *eIF-5A* 的 N 端, 特别是被羧腐胺赖氨酸修饰的赖氨酸及其周围的 26 个氨基酸残基非常保守。

2.4 草鱼 *eIF-5A* 的组织表达特性

RT-PCR 检测草鱼 *eIF-5A* 在 8 种组织中的表达, 获得的目的条带约为 200 bp (图 4A, 图 4B), 与预期结果 (196 bp) 一致。以 β actin 为内参平衡 cDNA 的模板量, 结果见图 4C。图 4A 表明, 正常条件下, 草鱼 *eIF-5A* 在 8 种组织中具有广泛表达, 且表达量差异不大。经 Poly I:C 诱导后 (图 4B), *eIF-5A* 的表达水平较之正常条件下变化不明显。

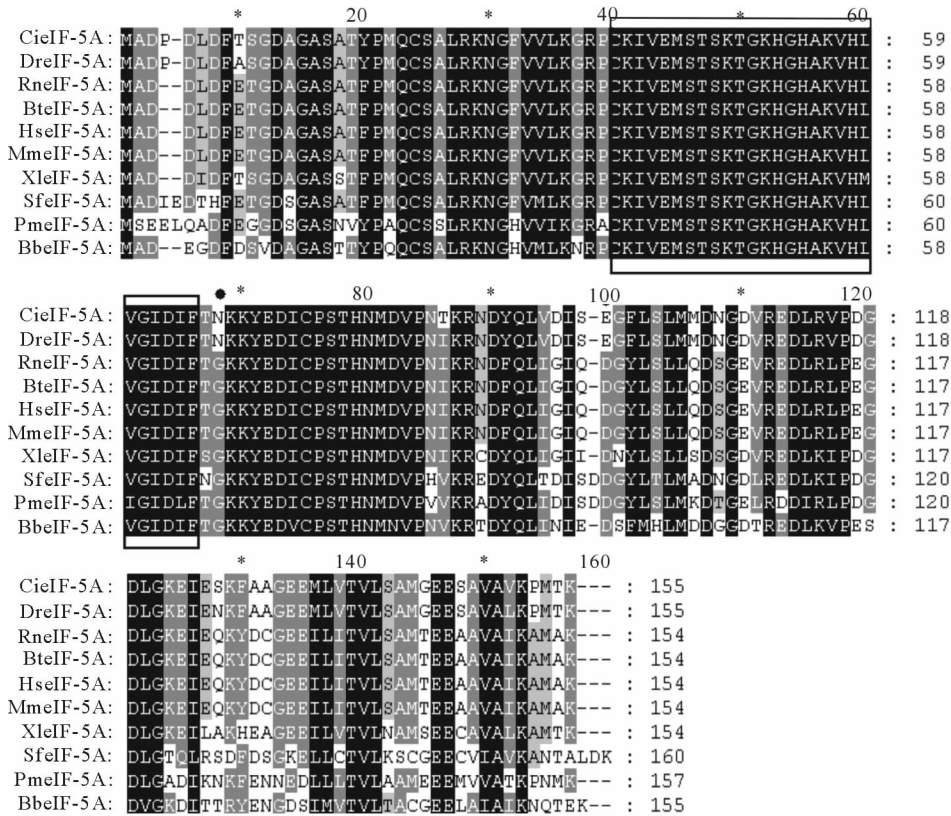


图 3 草鱼 eIF-5A 的同源性分析

黑色阴影表示完全保守的氨基酸位点;实线框标出羧腐胺赖氨酸所在的保守区;黑圆点标识与其他动物相比,鱼类 IF-5A 发生改变的氨基酸位点。CieiF-5A、DreIF-5A、RneiF-5A、BteIF-5A、HseiF-5A、MmeIF-5A、XleiF-5A、SfeiF-5A、PmeIF-5A 和 BbeiF-5A 分别代表草鱼 (EU916931)、斑马鱼 (NP_998350)、大鼠 (NP_001028853)、牛 (NP_001003658)、人 (NP_001961)、小鼠 (NP_853613)、非洲爪蟾 (NP_001080536)、夜蛾 (AAF13316)、对虾 (ABI30653)、文昌鱼 (AAS68511) 的 eIF-5A

Fig. 3 Homology analysis of grass carp eIF-5A

Black shadow indicated the fully conservative amino acids; Real line frames indicated the conservative domain that hypusine was in;

Compared with other species, some amino acids have changed in fish eIF-5A denoted by black dot. CieiF-5A, DreIF-5A, RneiF-5A,

BteIF-5A, HseiF-5A, MmeIF-5A, XleiF-5A, SfeiF-5A, PmeIF-5A and BbeiF-5A represent eIF-5A from *Ctenopharyngodon idella* (EU916931), *Danio rerio* (NP_998350), *Rattus norvegicus* (NP_001028853), *Bos taurus* (NP_001003658), *Homo sapiens* (NP_001961), *Mus musculus* (NP_853613), *Xenopus laevis* (NP_001080482), *Spodoptera frugiperda* (AAF13316), *Penaeus monodon* (ABI30653),

Branchiostoma belcheri (AAS68511), respectively

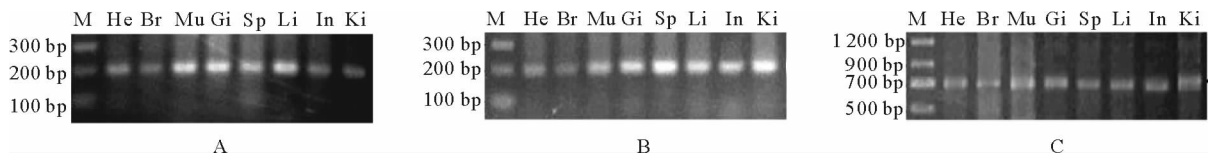


图 4 草鱼 eIF-5A 的组织表达特性

A. 本底表达组; B. Poly I:C 诱导组; C. β -actin 内参

M, DL600(A, B), DL1200(C); He. 心; Br. 脑; Mu. 肌肉; Gi. 鳃; Sp. 脾; Li. 肝; In. 肠; Ki. 肾

Fig. 4 Tissue-specific expression of grass carp eIF-5A

A. eIF-5A was constitutively expressed at low levels; B. Expression of eIF-5A induced by Poly I:C;

C. Samples were normalized on the basis of β -actin expressions

M, DL600(A, B), DL1200(C); He. Heart; Br. Brain; Mu. Muscle; Gi. Gill; Sp. Spleen; Li. Liver; In. Intestine; Ki. Kidney

2.5 草鱼 eIF-5A 的分子适应性进化分析

2.5.1 不同物种的 eIF-5A 同源序列系统发生树

从图 5 可以看出,人、牛、小鼠和大鼠 4 种哺乳类

动物的 eIF-5A 处于一枝,而人、小鼠和鸡的 eIF-

5A2 位于另一相邻分枝上;文昌鱼与 4 种节肢动物的 eIF-5A 亲缘相近,处在同一枝上;草鱼和斑马鱼

的 *eIF-5A* 具有很高的相似性 (Bootstrap 值为 1 000)。因此, *eIF-5A* 能很好地反映不同物种间的亲缘关系, 为进行适应性进化分析提供了保证。

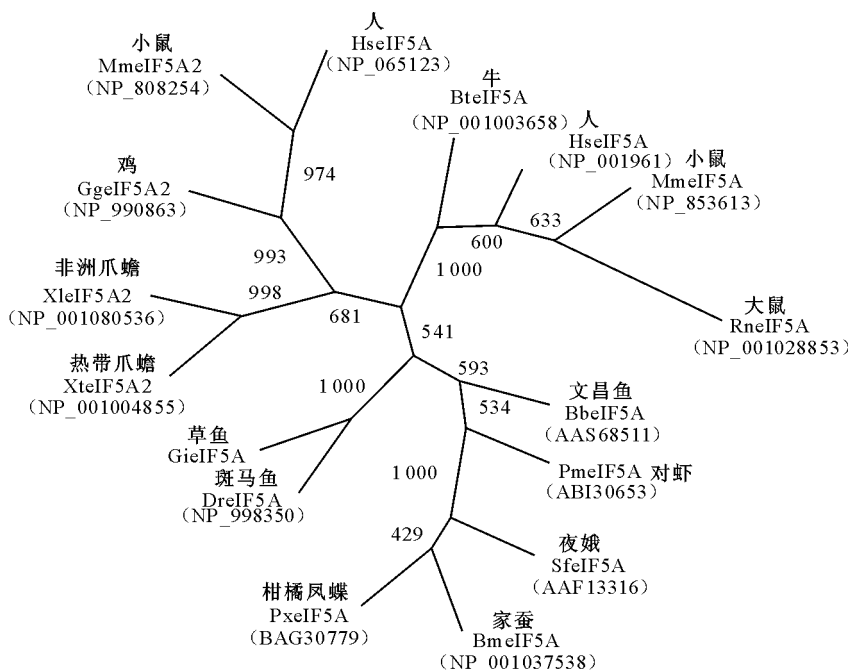


图 5 不同物种的 *eIF-5A* 系统进化树

物种以及相关的 GenBank 登录号分别为人 HseIF-5A2 (NP_065123)、小鼠 MmeIF-5A2 (NP_808254)、鸡 GgeIF-5A2 (NP_990863)、热带爪蟾 XtleIF-5A (NP_001004855)、家蚕 BmeIF-5A (NP_001037538)、柑橘凤蝶 PxeIF-5A (BAG30779), 其他物种说明同图 3。

分枝上的数字为 bootstrap 1 000 次的支持率, 代表分歧度

Fig. 5 Phylogeny of *eIF-5A* of different species

The species and GenBank accession numbers of corresponding sequences are *Homo sapiens* HseIF-5A2 (NP_065123), *Mus musculus* MmeIF-5A2 (NP_808254), *Gallus gallus* GgeIF-5A2 (NP_990863), *Xenopus tropicalis* XtleIF-5A (NP_001004855), *Bombyx mori* BmeIF-5A (NP_001037538), *Papilio xuthus* PxeIF-5A (BAG30779), respectively. Other species see fig. 3

The numerals on branches stand for the support rate of bootstrap 1 000 times, indicate the difference degrees

2.5.2 *eIF-5A* 的正选择检验 经 PHYLIPY 软件 计密码子替换模型的参数 (表 1), 比较模型 M0 与包计算得到系统发生树之后, 用 CODEML 程序估 M3 对 *eIF-5A* 适应性进化的分析结果。

表 1 *eIF-5A* 正选择检验参数估计

Table 1 Estimates of parameters in *eIF-5A* by positive selective test

模型 Model	<i>P</i>	$\ln L(L)$	$2\Delta l$	参数估计 Estimates of parameters	正选择位点 Positively selected sites
M0	1	-3 595.347		$\omega = 0.0335$	None
M3	5	-3 482.616	225.462**	$p_0 = 0.582$ $p_1 = 0.354$ $p_2 = 0.064$	None
M7	2	-3 486.645		$\omega_0 = 0.004$ $\omega_1 = 0.056$ $\omega_2 = 0.312$ $p = 0.310$ $q = 5.999$	None
M8	4	-3 484.140	5.010	$p_0 = 0.993$ $p = 0.339$ $q = 7.977$ ($p_1 = 0.007$) $\omega = 1.000$	None

注: *P* 是模型的自由参数数目, $\ln L(L)$ 是最大似然值的对数, $2\Delta l$ 是 M3 与 M0 及 M7 与 M8 间 $\ln L(L)$ 之差的 2 倍。* 表示似然比检验极其显著, p_0 表示受到选择约束的位点比例, p_1 表示可能受到正选择的位点比例, p 和 q 是 M7 与 M8 中 β 分布 $B(p, q)$ 的参数, ω 指示正选择位点的参数。

Note: *P* is the number of freedom parameters in the model. $\ln L(L)$ is the log-likelihood, $2\Delta l$ is twice the log-likelihood difference (M3 & M0, M7 & M8). ** stands significant at 1% level. p_0 and p_1 indicated the proportion of sites under selective constraint and under positive selection, respectively. Parameters p and q for the beta distribution $B(p, q)$ are given under M7 and M8. ω indicated the parameters of positively selected sites.

由表 1 可知, 最大似然值对数差的 2 倍 $2\Delta l = 225.462$, 而自由度 d. f. = $5 - 1 = 4$ 的 χ^2 分布值为

18.467 (0.1% 显著水平); 可见, 对 *eIF-5A* 进行的似然比检验非常显著。模型 M3 指示正选择的参数

$\omega_1 = 0.056$, 模型 M8 指示正选择的参数 $\omega = 1.000$, 这些参数都不大于 1, 意味着 *eIF-5A* 中的氨基酸位点没有受到正选择作用, 而是处于中性进化或负进化状态。

模型 M3 的参数 $p_0 = 0.582$, 模型 M8 的参数 $p_0 = 0.993$, p_0 表示受到选择约束的位点的比例, 这说明 *eIF-5A* 上大多数位点受到选择约束。

3 讨 论

eIF-5A 是一类与细胞分裂和分化密切相关的蛋白质, 在生物体中具有多种 *eIF-5A* 剪切体, 提示其对维持细胞生存非常重要。已报道脊椎动物至少具有 2 个 *eIF-5A* 剪切体基因, 分别为 *eIF-5A* 或 *eIF-5A1* 和 *eIF-5A2*。尽管这些基因的核苷酸数目差别很大(1 089~5 537 bp), 但编码的蛋白质的分子质量均为 16~18 ku, 有很高的相似性, 如人 *eIF-5A1* 与 *eIF-5A2* 的同源性达到 84%^[12]。适应性进化分析也表明, 在 *eIF-5A* 上没有大于 1 的 ω 值, 并且在 M8 中, 受到选择约束的位点比例参数 p_0 高达 99.3%, 意味着与其结构保守性相对应, *eIF-5A* 在功能上也具有高度保守性。

同样, 在斑马鱼中报道了 2 个 *eIF-5A* 基因, 分别为 BC056297 (1 945 bp) 和 NM213185 (1 301 bp), 这 2 个序列非常相似, 只是前者在 3' 非翻译区多出约 600 bp。斑马鱼的这 2 个序列与其他脊椎动物的 *eIF-5A1* 和 *eIF-5A2* 的关系还有待进一步研究。本研究获得的草鱼 *eIF-5A* 基因为 2 249 bp, 虽然比斑马鱼 BC056297 和 NM213185 大很多, 但编码的蛋白质非常相似。同时, 草鱼 *eIF-5A* 的大小介于其他脊椎动物 *eIF-5A1* 和 *eIF-5A2* 之间, 并与鸡 *eIF-5A1* (Q09121) 和 *eIF-5A2* (NM205532) 的同源性为 81.54% 和 79.31% (结果未列出)。

除基因大小外, *eIF-5A* 或 *eIF-5A1* 与 *eIF-5A2* 的最大差别可能在于表达特性上。研究表明, *eIF-5A1* 在人细胞中属于恒量表达, 而 *eIF-5A2* 在人正常细胞中表达量很低, 仅在卵巢癌和结肠癌细胞中检测到高水平表达^[12-13]。同样, Western blot 显示, *eIF-5A* 在小鼠不同组织中的分布没有大的差异^[14]; Northern blot 分析也发现, *eIF-5A* 在人的许多组织中恒定表达^[15]。因此, *eIF-5A1* 或 *eIF-5A* 的表达为组成型表达, 而 *eIF-5A2* 的表达是受一些特殊因素(细胞分裂等)刺激或诱导的表达。在一些特殊情况下, *eIF-5A1* 和 *eIF-5A2* 表达的相互叠加可以

在细胞内促进大量蛋白质的翻译。与小鼠和人的 *eIF-5A* 相似, 草鱼 *eIF-5A* 在心、脑、肌肉、鳃、脾、肝、肠、肾等组织中均有强烈的本底表达, 而且经 Poly I:C 诱导后, 其在各组织中的表达并没有明显上调。因此, 本文鉴定的草鱼 *eIF-5A* 为 *eIF-5A1*, 而非 *eIF-5A2*。

[参考文献]

- [1] Kapp L D, Lorsch J R. The molecular mechanics of eukaryotic translation [J]. *Annu Rev Biochem*, 2004, 73: 657-704.
- [2] Park M H. The essential role of hypusine in eukaryotic translation initiation factor 4D (eIF-4D). Purification of eIF-4D and its precursors and comparison of their activities [J]. *J Biol Chem*, 1989, 264(31): 18531-18535.
- [3] Liu Y P, Nemeroff M, Yan Y P, et al. Interaction of eukaryotic initiation factor 5A with the human immunodeficiency virus type 1 Rev response element RNA and U6 snRNA requires deoxyhypusine or hypusine modification [J]. *Neuro-Signals*, 1997, 6(3): 166-174.
- [4] 靳宝锋, 何 昆, 胡美茹, 等. 真核起始因子 5A 与细胞周期 G1/S 调控的研究 [J]. *中国实验血液学杂志*, 2003, 11(4): 325-328.
Jin B F, He K, Hu M R, et al. The effect of eIF-5A on the G1/S in cell cycle regulation [J]. *Journal of Experimental Hematology*, 2003, 11(4): 325-328. (in Chinese)
- [5] Park M H. The post-translational synthesis of a polyamine-derived amino acid, hypusine, in the eukaryotic translation initiation factor 5A (eIF-5A) [J]. *J Biochem*, 2006, 139(2): 161-169.
- [6] Caraglia M, Tagiiaferri P, Budillon A, et al. Post-translational modifications of eukaryotic initiation factor-5A (eIF-5A) as a new target for anti-cancer therapy [J]. *Adv Exp Med Biol*, 1999, 472: 187-198.
- [7] Chen Z P, Yan Y P, Ding Q J, et al. Effects of inhibitors of deoxyhypusine synthase on the differentiation of mouse neuroblastoma and erythroleukemia cells [J]. *Cancer Lett*, 1996, 105(2): 233-239.
- [8] Tome M E, Gerner E W. Hypusine modification in eukaryotic initiation factor 5A in rodent cells selected for resistance to growth inhibition by ornithine decarboxylase-inhibiting drugs [J]. *Biochem J*, 1996, 320(Pt 1): 55-60.
- [9] Nishimura K, Ohki Y, Fukuchi-Shimogori T, et al. Inhibition of cell growth through inactivation of eukaryotic translation initiation factor 5A (eIF-5A) by deoxyspergualin [J]. *Biochem J*, 2002, 363(Pt 3): 761-768.
- [10] Yang Z, Nielsen R. Estimating synonymous and nonsynonymous substitution rates under realistic evolutionary models [J]. *Mol Biol Evol*, 2000, 17(1): 32-43.